

Prüfbericht Nr. R23-0294H
Test report No. R23-0294H



Currenta GmbH & Co. OHG
 ANT-Brandtechnologie
 CHEMPARK, Gebäude B 411
 D-51368 Leverkusen

brandtechnologie@currenta.de
 www.brandversuche.de
 www.fire-testing.eu

Sitz der Gesellschaft: Leverkusen
 Amtsgericht Köln, HR A 20833



| | | | |
|---|--|---|---|
| Berichtsdatum <i>Date of report</i> | 2023-06-01 | | |
| Auftraggeber <i>Client</i> | IGP Pulvertechnik AG Frau Laura Segmüller Prüftechnik Ringstrasse 30 9500 Will, Schweiz laura.segmueLLer@igp-powder.com | | |
| Geprüftes Produkt <i>Product tested</i> | IGP DURAOne 56 | Geprüfte Dicke <i>Thickness tested</i> | Beschichtung <i>Coating</i> ≈ 180 – 200 µm Aluminium <i>Aluminium</i> 1.0 mm |
| Prüfverfahren <i>Test method</i> | EN ISO 5659-2:2017 Kunststoffe – Rauchentwicklung Teil 2: Bestimmung der optischen Dichte durch Einkammerprüfung Prüfung der Rauchgastoxizität nach EN 45545-2:2013+A1:2015, Anhang C <i>EN ISO 5659-2:2017</i> <i>Plastics – Smoke generation</i> <i>Part 2: Determination of optical density by a single-chamber test</i> <i>Smoke toxicity testing according to EN 45545-2:2013+A1:2015, Annex C</i> | | |
| Produktbeurteilung <i>Product assessment</i> | EN 45545-2:2013+A1:2015 Bahnanwendungen – Brandschutz in Schienenfahrzeugen Teil 2: Anforderungen an das Brandverhalten von Materialien und Komponenten <i>EN 45545-2:2013+A1:2015</i> <i>Railway applications – Fire protection on railway vehicles</i> <i>Part 2: Requirements for fire behavior of materials and components</i> | | |

Prüfergebnis
Test result

| Prüfdatum <i>Date of test</i> | Bestrahlungsstärke <i>Irradiance</i> | Prüfverfahren nach EN 45545-2 <i>Test method according to EN 45545-2</i> | Kenngröße <i>Parameter</i> | Ergebnis <i>Result</i> |
|----------------------------------|---|---|-------------------------------|---------------------------|
| 2023-05-25 | 50 kW/m ² | T10.01 | D _s (4) (-) | 115 |
| | | T10.02 | VOF ₄ (min) | 209 |
| | | T10.04 | D _s max. (-) | 124 |
| | | T11.01 | CIT _{G, 4 min} (-) | 0.01 |
| | | T11.01 | CIT _{G, 8 min} (-) | 0.01 |

Frank Volkenborn
 (Brandtechnologie, Laborleitung)
 (Fire Technology, Laboratory Manager)



Jochen Pothmann
 (Brandtechnologie, Sachbearbeitung)
 (Fire Technology, Customer Support)

Inhalt

Contents

| | |
|--|----|
| 1. Produktangaben des Auftraggebers | 3 |
| 1. <i>Product information provided by the client</i> | 3 |
| 2. Angaben zur Prüfung | 4 |
| 2. <i>Test details</i> | 4 |
| 3. Prüfergebnisse | 7 |
| 3. <i>Test results</i> | 7 |
| 3.1 Optische Rauchdichte | 7 |
| 3.1 <i>Smoke optical density</i> | 7 |
| 3.2 Rauchgastoxizität | 11 |
| 3.2 <i>Smoke toxicity</i> | 11 |
| 3.2.1 Ergebnisse der Gasanalyse | 11 |
| 3.2.1 <i>Gas analysis results</i> | 11 |
| 3.2.2 Berechnung des CIT-Werts | 13 |
| 3.2.2 <i>Calculation of CIT value</i> | 13 |
| 3.2.3 Ergebnis | 13 |
| 3.2.3 <i>Result</i> | 13 |
| 4. Hinweise | 14 |
| 4. <i>Remarks</i> | 14 |
| 4.1 Anmerkungen zur Berichtsversion | 14 |
| 4.1 <i>Remarks on report version</i> | 14 |
| 4.2 Allgemeine Hinweise | 14 |
| 4.2 <i>General information</i> | 14 |

1. Produktangaben des Auftraggebers

1. Product information provided by the client

| | |
|---|--|
| Produktbezeichnung <i>Product designation</i> | IGP DURAAone 56 |
| Handelsbezeichnung <i>Trade name</i> | Keine Angabe <i>Not stated</i> |
| Produktbeschreibung <i>Product description</i> | Vernetzter Pulverlack <i>Crosslinked powder coating *</i> |
| Hersteller/Lieferant <i>Manufacturer/supplier</i> | IGP Pulvertechnik AG |
| Art des Produkts <i>Type of product</i> | Keine Angabe <i>Not stated</i> |
| Probekörperaufbau <i>Specimen construction</i> | Einschichtaufbau <i>Single layer structure *</i> |
| Datenblatt/Zeichnung Nr. <i>Data sheet/drawing No.</i> | Keine Angabe <i>Not stated</i> |
| Farbe <i>Color</i> | Anthrazitgrau <i>Anthrazite grey *</i> |
| Dicke <i>Thickness</i> (mm) | Aluminiumblech: 1.5 mm + ca. 130 µm Lackschicht <i>Aluminium sheet: 1.5 mm + ca. 130µm painting *</i> |
| Flächenbezogene Masse <i>Mass per unit area</i> (kg/m ²) | Keine Angabe <i>Not stated</i> |
| Dichte <i>Density</i> (kg/m ³) | 1.3 – 1.6 (Beschichtungspulver) <i>1.3 – 1.6 (coating powder) *</i> |
| Einsatzbereich <i>Field of application</i> | Innen und Aussen liegende vertikale Oberflächen <i>Interior and exterior vertical surfaces *</i> |
| Installationsbedingungen <i>Mounting conditions</i> | Keine Angabe <i>Not stated</i> |
| Zu prüfende Probekörperfläche <i>Specimen face to be tested</i> | Vorderseite, beschichtete Seite <i>Front side, coated side *</i> |
| Weitere Angaben <i>Further details</i> | Keine Angabe <i>Not stated</i> |

* Übersetzt durch Currenta / *Translated by Currenta*

2. Angaben zur Prüfung

2. Test details

Probekörper

Test specimens

| | | | | | |
|--|--|---|------|--------------------------------|---|
| Auftrags-Nr. <i>Order No.</i> | | 23-0294H | | | |
| Datum des Probekörpereingangs <i>Date of specimen receipt</i> | | 2023-05-04 | | | |
| Konditionierung <i>Conditioning</i> | | <p>Die Probekörper sind vor der Prüfung für mind. 48 h bei einer Temperatur von $23 \pm 2 \text{ }^\circ\text{C}$ und einer relativen Luftfeuchtigkeit von $50 \pm 5 \%$ bis zur Massenkonstanz konditioniert worden. Massenkonstanz bedeutet, dass zwei aufeinander folgende Wägungen, die in einem Abstand von 24 h durchgeführt werden, um nicht mehr als 0.1 % der Probekörpermasse oder 0.1 g voneinander abweichen. Der Größere der beiden Werte ist hierbei maßgebend. Die Massekonstanz wurde an einem Referenzprüfkörper nachgewiesen.</p> <p><i>Before testing, the test specimens are conditioned at a temperature of $23 \pm 2 \text{ }^\circ\text{C}$ and a relative humidity of $50 \pm 5 \%$ for a minimum period of 48 h, until constant mass is achieved. Constant mass is considered to be achieved when two successive weighing operations, carried out at an interval of 24 h, do not differ by more than 0.1 % of the mass of the specimen or 0.1 g, whichever is the greater. The mass consistency was verified on a reference test specimen.</i></p> | | | |
| Messdaten <i>Measured data</i> | Länge <i>Length</i> | (mm) | 75.8 | | |
| | Breite <i>Width</i> | (mm) | 75.5 | | |
| | Dicke <i>Thickness</i> | (mm) | 1.2 | Beschichtung <i>Coating</i> | $\approx 180 - 200 \text{ } \mu\text{m}$ Aluminium <i>Aluminium</i> 1.2 mm |
| | Flächenbezogene Masse <i>Mass per unit area</i> | (kg/m^2) | 2.97 | | |
| Farbe <i>Color</i> | | Ähnlich RAL 7016 - Anthrazitgrau <i>Similar to RAL 7016 - Anthracite grey</i> | | | |

| | |
|---------------------------------------|--|
| <p>Foto <i>Photograph</i></p> |  |
| <p>Anmerkungen <i>Remarks</i></p> | <p>Der Probekörper besitzt 2 Löcher am Rand mit jeweils 3 mm Durchmesser. <i>The specimen has 2 holes on the edge, each with a diameter of 3 mm.</i></p> |

Prüfparameter
Test parameters

| | |
|--|--|
| Prüfdatum <i>Date of test</i> | 2023-05-25 |
| Geprüfte Probekörperfläche <i>Specimen face tested</i> | Beschichtete Seite <i>Coated side</i> |
| Prüfbedingungen <i>Test conditions</i> | Bestrahlungsstärke: 50 kW/m ² , ohne Zündflamme Abstand zwischen Probekörper und Kegelheizeinrichtung: 25 mm Probekörperhinterlegung: Kalziumsilikatplatte + Keramikfasermatte Drahtgitter: nein Korrekturfaktor C_f : 2.24 Geprüfte Probenoberfläche: 4225 mm ² <i>Irradiance: 50 kW/m², without pilot flame</i> <i>Distance between specimen and cone heater: 25 mm</i> <i>Specimen backing: calcium silicate board + fibre blanket</i> <i>Wire grid: no</i> <i>Correction factor C_f: 2.24</i> <i>Tested specimen surface: 4225 mm²</i> |
| Prüfdauer <i>Test duration</i> | 10 min |
| Prüfer <i>Operator</i> | Hendrik Schulz |
| Abweichungen vom Prüfverfahren <i>Deviations from the test method</i> | Keine <i>None</i> |
| Klimatische Bedingungen Labor <i>Climate conditions laboratory</i> | 25 °C 36 % r.F. % R.H. |
| Anmerkungen <i>Remarks</i> | Keine <i>None</i> |

3. Prüfergebnisse

3. Test results

3.1 Optische Rauchdichte

3.1 Smoke optical density

Probekörpermasse

Specimen mass

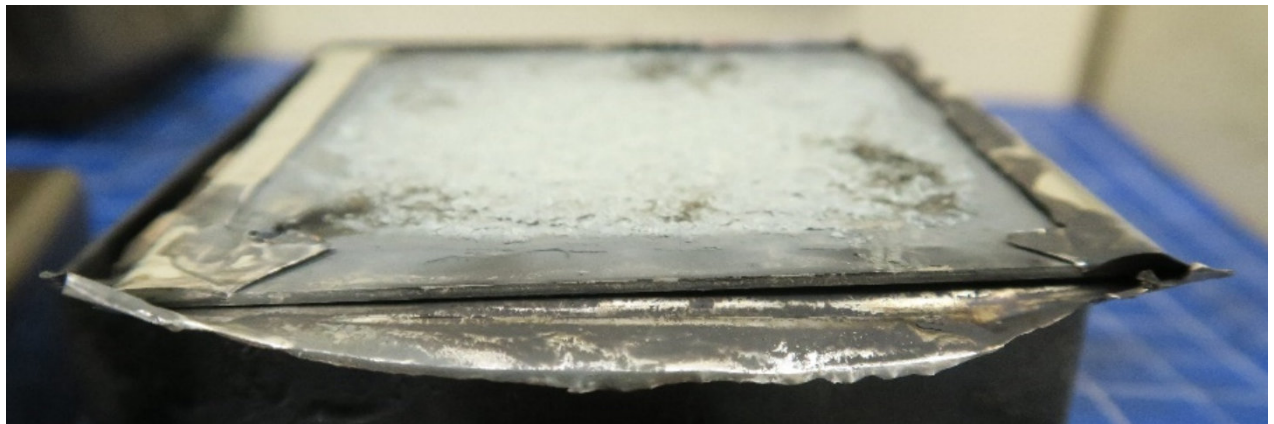
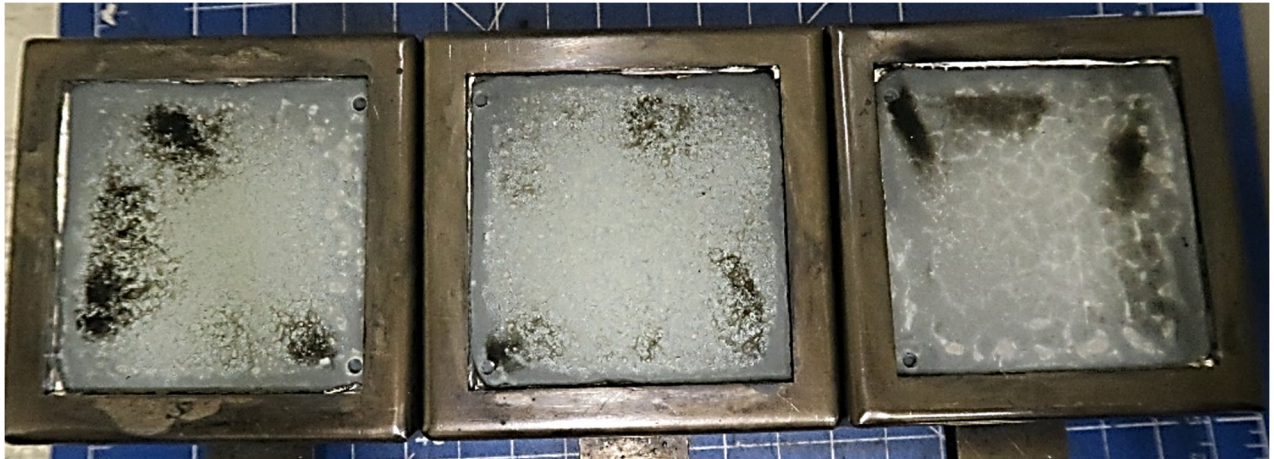
| | Versuch 1 <i>Test 1</i> | Versuch 2 <i>Test 2</i> | Versuch 3 <i>Test 3</i> | Mittelwert <i>Average</i> |
|--|----------------------------|----------------------------|----------------------------|------------------------------|
| Eingesetzte Masse <i>Initial mass</i> (g) | 17.0 | 16.9 | 17.0 | 17.0 |
| Restmasse <i>Final mass</i> (g) | 15.3 | 15.2 | 15.7 | 15.4 |
| Massenverlust <i>Mass loss</i> (g) | 1.7 | 1.7 | 1.3 | 1.6 |
| Dicke <i>Thickness</i> (mm) | 1.2 | 1.2 | 1.2 | 1.2 |

Brandverhalten

Burning behavior

| | Versuch 1 <i>Test 1</i> | Versuch 2 <i>Test 2</i> | Versuch 3 <i>Test 3</i> | Mittelwert <i>Average</i> |
|---|----------------------------|----------------------------|----------------------------|------------------------------|
| Zündung <i>Time to ignition</i> (s) | 144 | 125 | 118 | 129 |
| Verlöschen <i>Time to extinguishment</i> (s) | 227 | 185 | 164 | 192 |
| Prüfdauer <i>Test duration</i> (s) | 600 | 600 | 600 | 600 |

Schaden
Damage



Rauchdichtemessung

Smoke density measurement

| | Versuch 1 <i>Test 1</i> | Versuch 2 <i>Test 2</i> | Versuch 3 <i>Test 3</i> | Mittelwert <i>Average</i> |
|-------------------------------|----------------------------|----------------------------|----------------------------|------------------------------|
| D _s (4) (-) | 124 | 126 | 95 | 115 |
| VOF ₄ (min) | 203 | 252 | 173 | 209 |
| D _s max. (-) | 140 | 128 | 103 | 124 |
| D _s (10) (-) | 133 | 117 | 77 | 109 |
| D _c (-) | 33 | 36 | 35 | 35 |
| Anmerkungen <i>Remarks</i> | Keine <i>None</i> | | | |

- D_s(4) Spezifische optische Dichte (-) nach 4 min Versuchsdauer
Specific optical density (-) after 4 min test time
- VOF₄ Integral der spezifischen optischen Dichte über die ersten 4 min Versuchsdauer (min)
Integral of the specific optical density over the first 4 min of the test (min)
- D_s max. Maximale spezifische optische Dichte (-)
Maximum specific optical density (-)
- D_s(10) Spezifische optische Dichte (-) nach 10 min Versuchsdauer
Specific optical density (-) after 10 min test time
- D_c Korrekturfaktor für das gereinigte Lichtbündel (-)
Clear-beam correction factor (-)

Spezifische optische Dichte D_s
Specific optical density D_s

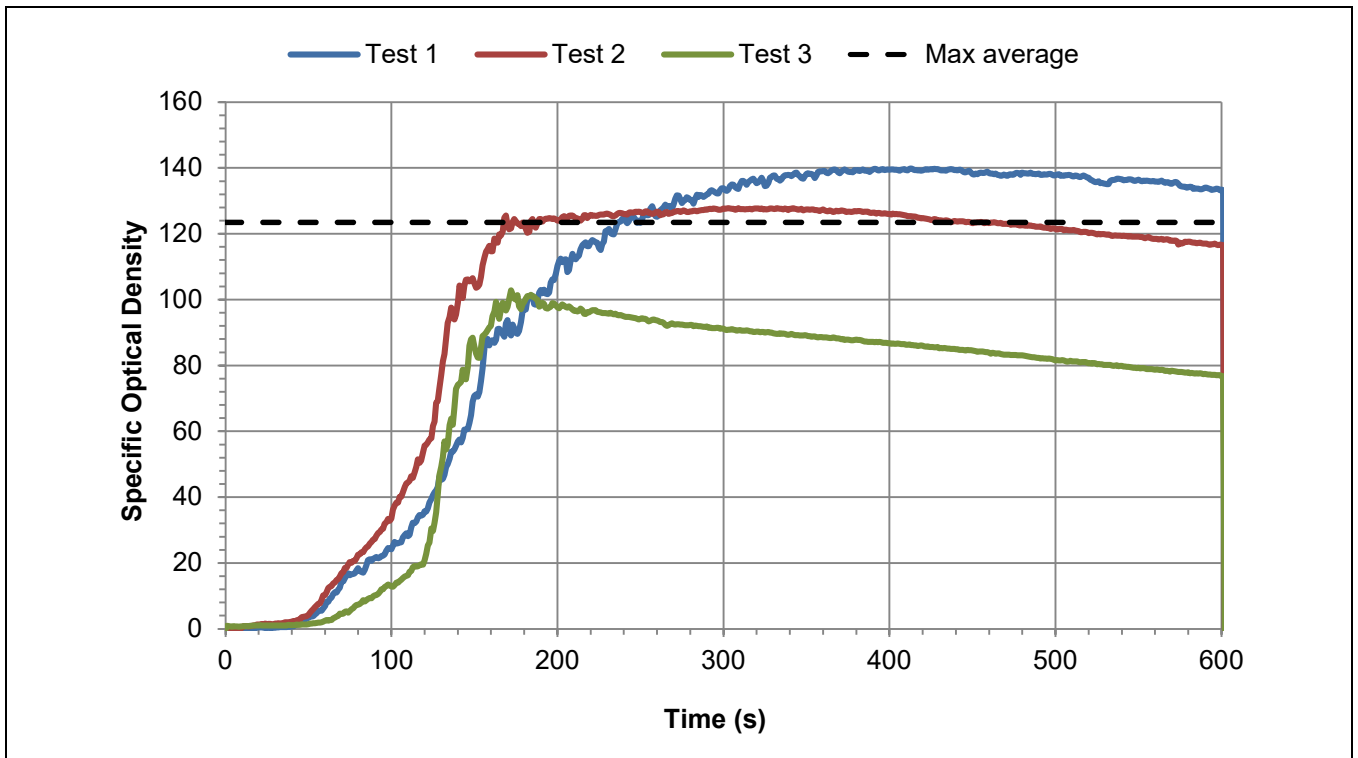
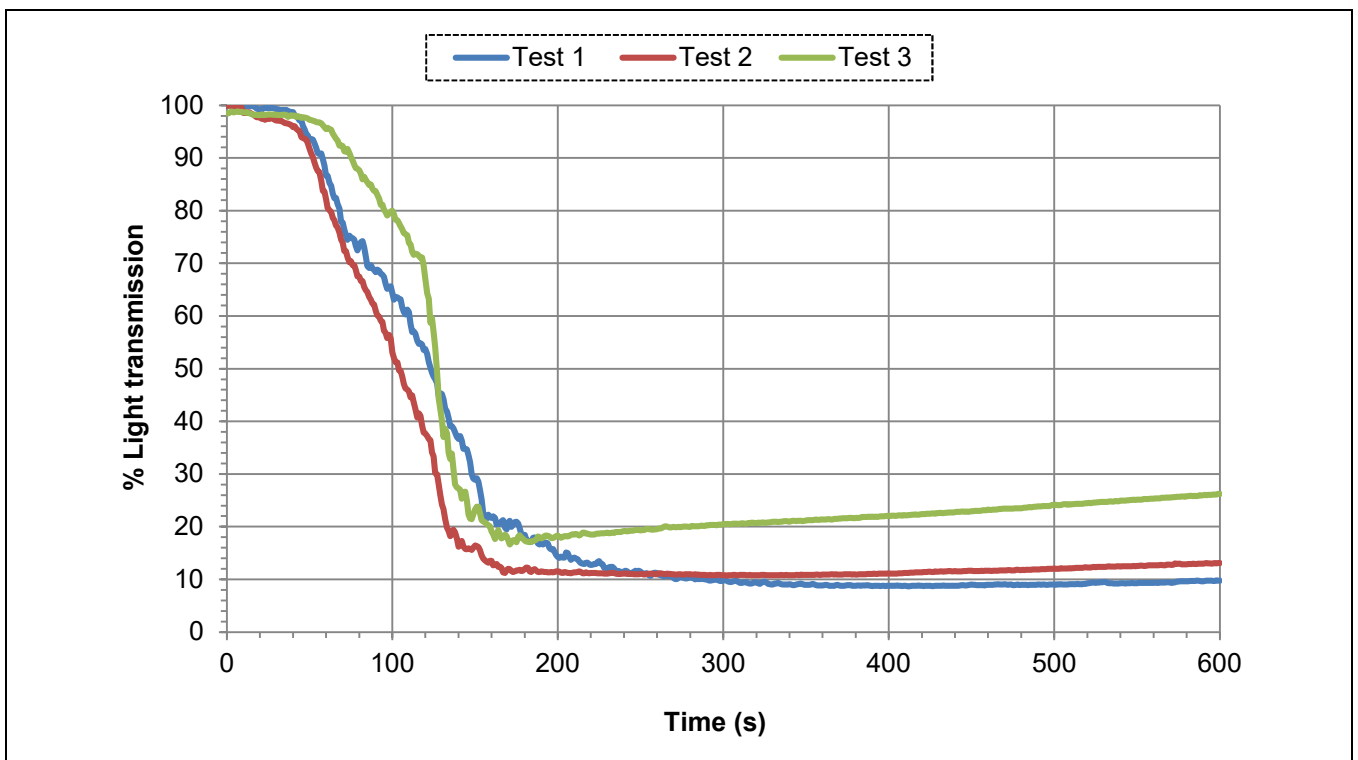


Diagramm der Lichtdurchlässigkeit %
Graph of transmission of light %



3.2 Rauchgastoxizität

3.2 Smoke toxicity

3.2.1 Ergebnisse der Gasanalyse

3.2.1 Gas analysis results

Einzelergebnisse

Individual results

| Proben- nahme <i>Sampling</i> | Gas- komponente <i>Gas component</i> | Versuch 1 <i>Test 1</i> | | | Versuch 2 <i>Test 2</i> | | | Versuch 3 <i>Test 3</i> | | |
|--|--|----------------------------|-------------------|------|----------------------------|-------------------|------|----------------------------|-------------------|------|
| | | ppm | mg/m ³ | mg/g | ppm | mg/m ³ | mg/g | ppm | mg/m ³ | mg/g |
| Nach 4 min Versuchsdauer <i>4 min sampling time point</i> | CO ₂ | 1439 | 2244 | 67.3 | 1555 | 2391 | 72.2 | 1959 | 2992 | 89.7 |
| | CO | 82 | 81 | 2.4 | 92 | 90 | 2.7 | 76 | 74 | 2.2 |
| | HF | n.n. | n.n. | n.n. | n.n. | n.n. | n.n. | n.n. | n.n. | n.n. |
| | HCl | n.n. | n.n. | n.n. | n.n. | n.n. | n.n. | n.n. | n.n. | n.n. |
| | HBr | n.n. | n.n. | n.n. | n.n. | n.n. | n.n. | n.n. | n.n. | n.n. |
| | HCN | n.n. | n.n. | n.n. | n.n. | n.n. | n.n. | n.n. | n.n. | n.n. |
| | NO _x | n.n. | n.n. | n.n. | n.n. | n.n. | n.n. | n.n. | n.n. | n.n. |
| | SO ₂ | n.n. | n.n. | n.n. | n.n. | n.n. | n.n. | n.n. | n.n. | n.n. |
| Nach 8 min Versuchsdauer <i>8 min sampling time point</i> | CO ₂ | 1506 | 2324 | 69.7 | 1640 | 2494 | 75.3 | 2029 | 3077 | 92.3 |
| | CO | 143 | 140 | 4.2 | 144 | 140 | 4.2 | 118 | 114 | 3.4 |
| | HF | n.n. | n.n. | n.n. | n.n. | n.n. | n.n. | n.n. | n.n. | n.n. |
| | HCl | n.n. | n.n. | n.n. | n.n. | n.n. | n.n. | n.n. | n.n. | n.n. |
| | HBr | n.n. | n.n. | n.n. | n.n. | n.n. | n.n. | n.n. | n.n. | n.n. |
| | HCN | n.n. | n.n. | n.n. | n.n. | n.n. | n.n. | n.n. | n.n. | n.n. |
| | NO _x | n.n. | n.n. | n.n. | n.n. | n.n. | n.n. | n.n. | n.n. | n.n. |
| | SO ₂ | n.n. | n.n. | n.n. | n.n. | n.n. | n.n. | n.n. | n.n. | n.n. |

ppm Volumenanteil der Gaskomponente
Volume fraction of gas component

mg/m³ Massenkonzentration der
 Gaskomponente
Mass concentration of gas component

mg/g Masse der Gaskomponente
 bezogen auf die eingesetzte
 Probekörpermasse
*Mass of gas component
 divided by the initial specimen mass*

NO_x NO + NO₂ (vgl. EN 17084, Abschnitt 4.2)
NO + NO₂ (cf. EN 17084, Section 4.2)

n.n. nicht nachweisbar
not detectable

Mindestnachweisgrenzen nach Abschnitt C.3.4 der
 EN 45545-2

*Minimum detection limits according to section C.3.4 of
 EN 45545-2*

| | | | |
|-----------------|-----------|-----------------|----------|
| CO ₂ | < 300 ppm | HBr | ≤ 15 ppm |
| CO | ≤ 15 ppm | HCN | ≤ 15 ppm |
| HF | ≤ 15 ppm | NO _x | ≤ 15 ppm |
| HCl | ≤ 15 ppm | SO ₂ | ≤ 15 ppm |

Die Nachweisgrenze der CURRENTA Analysemethode
 entspricht, oder ist besser als die normativen Vorgaben,
 abhängig von der Probenmatrix.

*The detection limit of the CURRENTA analytical method is
 equal to or better than the normative specifications,
 depending on the sample matrix.*

Mittelwerte

Average values

| Proben- nahme <i>Sampling</i> | Gaskomponente <i>Gas component</i> | | ppm | mg/m ³ | mg/g |
|--|--|-----------------|------|-------------------|------|
| | | | | | |
| Nach 4 min Versuchsdauer <i>4 min sampling time point</i> | Kohlendioxid <i>Carbon dioxide</i> | CO ₂ | 1651 | 2542 | 76.4 |
| | Kohlenmonoxid <i>Carbon monoxide</i> | CO | 83 | 82 | 2.5 |
| | Fluorwasserstoff <i>Hydrogen fluoride</i> | HF | n.n. | n.n. | n.n. |
| | Chlorwasserstoff <i>Hydrogen chloride</i> | HCl | n.n. | n.n. | n.n. |
| | Bromwasserstoff <i>Hydrogen bromide</i> | HBr | n.n. | n.n. | n.n. |
| | Cyanwasserstoff <i>Hydrogen cyanide</i> | HCN | n.n. | n.n. | n.n. |
| | Stickoxide <i>Nitrogen oxides</i> | NO _x | n.n. | n.n. | n.n. |
| | Schwefeldioxid <i>Sulfur dioxide</i> | SO ₂ | n.n. | n.n. | n.n. |
| Nach 8 min Versuchsdauer <i>8 min sampling time point</i> | Kohlendioxid <i>Carbon dioxide</i> | CO ₂ | 1725 | 2632 | 79.1 |
| | Kohlenmonoxid <i>Carbon monoxide</i> | CO | 135 | 131 | 4.0 |
| | Fluorwasserstoff <i>Hydrogen fluoride</i> | HF | n.n. | n.n. | n.n. |
| | Chlorwasserstoff <i>Hydrogen chloride</i> | HCl | n.n. | n.n. | n.n. |
| | Bromwasserstoff <i>Hydrogen bromide</i> | HBr | n.n. | n.n. | n.n. |
| | Cyanwasserstoff <i>Hydrogen cyanide</i> | HCN | n.n. | n.n. | n.n. |
| | Stickoxide <i>Nitrogen oxides</i> | NO _x | n.n. | n.n. | n.n. |
| | Schwefeldioxid <i>Sulfur dioxide</i> | SO ₂ | n.n. | n.n. | n.n. |

3.2.2 Berechnung des CIT-Werts

3.2.2 Calculation of CIT value

$$CIT_G = 0.0805 \times \sum_{i=1}^{i=8} \frac{c_i}{C_i}$$

CIT_G Konventioneller Toxizitätsindex (-) für allgemeine Komponenten
Conventional Index of Toxicity (-) for general products

c_i Konzentration (mg/m³) der Gaskomponente i in der Kammer nach 4 bzw. 8 min Versuchsdauer
Concentration (mg/m³) of gas component i in the chamber at 4 or 8 min sampling time point

C_i Referenzkonzentration (mg/m³) der Gaskomponente i gemäß EN 45545-2, Tabelle C.1
Reference concentration (mg/m³) of gas component i according to EN 45545-2, Table C.1

Referenzkonzentrationen nach EN 45545-2, Tabelle C.1

Reference concentrations according to EN 45545-2, Table C.1

| i | Gaskomponente <i>Gas component</i> | | Referenzkonzentration <i>Reference concentration</i> (mg/m ³) |
|-----|--|-----------------|---|
| 1 | Kohlendioxid <i>Carbon dioxide</i> | CO ₂ | 72000 |
| 2 | Kohlenmonoxid <i>Carbon monoxide</i> | CO | 1380 |
| 3 | Fluorwasserstoff <i>Hydrogen fluoride</i> | HF | 25 |
| 4 | Chlorwasserstoff <i>Hydrogen chloride</i> | HCl | 75 |
| 5 | Bromwasserstoff <i>Hydrogen bromide</i> | HBr | 99 |
| 6 | Cyanwasserstoff <i>Hydrogen cyanide</i> | HCN | 55 |
| 7 | Stickoxide <i>Nitrogen oxides</i> | NO _x | 38 |
| 8 | Schwefeldioxid <i>Sulfur dioxide</i> | SO ₂ | 262 |

3.2.3 Ergebnis

3.2.3 Result

| | | Versuch 1 <i>Test 1</i> | Versuch 2 <i>Test 2</i> | Versuch 3 <i>Test 3</i> | Mittelwert <i>Average</i> |
|--------------------------|-----|----------------------------|----------------------------|----------------------------|------------------------------|
| $CIT_{G, 4 \text{ min}}$ | (-) | 0.01 | 0.01 | 0.01 | 0.01 |
| $CIT_{G, 8 \text{ min}}$ | (-) | 0.01 | 0.01 | 0.01 | 0.01 |

4. Hinweise

4. Remarks

4.1 Anmerkungen zur Berichtsversion

4.1 Remarks on report version

Originaldokument R23-0294H

Original document R23-0294H

4.2 Allgemeine Hinweise

4.2 General information

Die CURRENTA Brandtechnologie ist ein durch die Deutsche Akkreditierungsstelle GmbH (DAkkS) nach DIN EN ISO/IEC 17025 akkreditiertes Prüflaboratorium. Die akkreditierten Prüfverfahren sind in der Anlage der Urkunde aufgeführt und umfassen nationale, europäische und internationale Brandprüfmethoden für den Verkehrssektor sowie den Bau-, Elektro- und Konsumgüterbereich.

Für diese Prüfverfahren ist die CURRENTA Brandtechnologie berechtigt, das kombinierte MRA-Zeichen der DAkkS und der International Laboratory Accreditation Cooperation (ILAC) zu nutzen. Damit wird national und international anerkannt, dass die CURRENTA Brandtechnologie die in der Akkreditierungsurkunde aufgeführten Prüfleistungen kompetent durchführen kann.

Die Prüfergebnisse beziehen sich nur auf das Verhalten des Produktes unter den besonderen Prüfbedingungen. Sie sind nicht als alleiniges Kriterium zur Bewertung der potenziellen Brandgefahr des Produktes in der praktischen Anwendung zu verstehen.

Die Messunsicherheit der Prüfverfahren wird für eine Konformitätsaussage nicht mitberücksichtigt. Durch Befolgen der Festlegungen des normativen Prüfverfahrens werden die Anforderung zur Berücksichtigung der Messunsicherheit erfüllt. Darüber hinaus stellt die CURRENTA Brandtechnologie eine gleichbleibend hohe Qualität der Prüfergebnisse durch die regelmäßige Teilnahme an Rundversuchen, organisiert z. B. von CERTIFER oder ISO, sicher.

Von den angelieferten Probekörpern werden keine Rückstellmuster eingelagert.

Die auszugsweise Vervielfältigung dieses Prüfberichtes ist nur mit schriftlicher Genehmigung der CURRENTA Brandtechnologie erlaubt.

Stimmen die Sprachversionen nicht überein, so ist die deutsche Version als die verbindliche anzusehen.

CURRENTA's Fire Technology Department is a testing laboratory accredited to DIN EN ISO/IEC 17025 by the Deutsche Akkreditierungsstelle GmbH (DAkkS). The accredited test procedures are specified in the annex to the certificate and cover national, European and international fire test methods for the transportation sector and for the construction, electrical and consumer goods industries.

For these test procedures, CURRENTA's Fire Technology Department is entitled to use the combined MRA mark of the DAkkS and the International Laboratory Accreditation Cooperation (ILAC). The competence of CURRENTA's Fire Technology Department to perform the test procedures listed in the accreditation certificate is thus recognized nationally and internationally.

The test results relate only to the behavior of the product under the particular conditions of the test. They are not intended to be the sole criterion for assessing the potential fire hazard of the product in use.

The measurement uncertainty is not taken into account for the statement of conformity assessment. By following the normative test procedure the requirement for taking into account the measurement uncertainty is fulfilled. In addition CURRENTA's Fire Technology Department ensures the consistently high quality of its test results through regular participation in round robin tests, organized for example by CERTIFER or ISO.

Remaining test material will not be stored.

This test report shall not be reproduced in part without the written approval of CURRENTA's Fire Technology Department.

If the different language versions do not correspond, the German version is to be considered as binding.

